

ارزیابی اثر «خستگی کم چرخه» در رفتار لرزه‌یی «اتصال مستقیم تیر با مقطع کاوش‌یافته» در قاب‌های خمشی فولادی

با هدف ساده‌سازی کالج (کارشناس ارشد)

محسن گرامی^{*} (دانشیار)

محسن قادری (دکتری)

دانشکده‌ی هندسی عمران، دانشگاه سمنان

پژوهشگران مدت‌ها به موضوع تأثیر خستگی در رفتار سازه‌های فولادی توجه داشته‌اند. با مشاهده خواهی‌های گستردگی اتصال‌های سازه‌های فولادی پس از زلزله‌ی نورث‌بیج، بررسی موضوع خستگی کم چرخه حائز اهمیت شده است. در مطالعه‌ی حاضر، رفتار دو اتصال از پیش تأیید شده اتصال مستقیم تقویت نشده‌ی جوشی و اتصال مستقیم تیر با مقطع کاوش‌یافته، تحت اثر خستگی کم چرخه بررسی شده و منحنی N-S با روش نستار و نتایج آزمایشگاهی موجود به دست آمده است. چهار سازه با روش تحلیل تاریخچه‌ی زمانی خطی، تحلیل و آسیب ناشی از خستگی تجمعی در دو اتصال اخیر با روش تحلیل خستگی پالمگرن - ماینر بررسی شده است. بیشترین مقدار شاخص خستگی تجمعی در اتصال WUF-W در تیرها ۱/۲۹ برابر اتصال RBS و در ستون‌ها ۱/۳۴ بوده است. نتایج به دست آمده نشان‌دهنده نیاز به توجه بیشتر به اثر خستگی کم چرخه در اتصال‌های قاب خمشی فولادی، به ویژه در اتصال WUF-W است.

b.hosseini733@gmail.com
mgerami@semnan.ac.ir
mohsenghaderi57@gmail.com

واژگان کلیدی: خستگی کم چرخه، اتصال‌های از پیش تأیید شده، سازه‌های فولادی، زلزله.

۱. مقدمه و تاریخچه مطالعات

سازه و دستورالعمل‌های طراحی لحاظ نشده است. کمیته‌ی لرزه‌شناسی SEAOC و FEMA ۳۵۰، پیشنهاد می‌کنند که مطالعات بیشتری بر روی موضوع خستگی کم چرخه انجام شود. کراوینکار^۱ خستگی کم چرخه را به عنوان مکانیزم خسارت در اتصال‌های از نورث‌بیج بیان کرده است.^[۲]

پارتبیج^۳ (۲۰۰۵) در مطالعه‌ی خود ۱۰ اتصال تیر به ستون را تحت بارگذاری چرخه‌یی ثابت قرار داد و دریافت که خستگی، عامل مهمی در خواهی اتصال‌های

پیش از نورث‌بیج بوده است.^[۴]

نوشتار اخیر به همراه انتشارات دیگر توسط پارتبیج، آن^۷، ریچارد^۸ و رادو^۹ به این نتایج دست یافته‌ند که خستگی کم چرخه، عامل خواهی اتصال‌های پیش از

نورث‌بیج در طی زلزله‌ی نورث‌بیج بوده است.^[۱۰]

در سال ۲۰۰۳، سامنر^{۱۱} در رساله‌ی دکتری خود برای تعیین روشی واحد، طراحی اتصال‌های فلنجی تحت اثر بارگذاری چرخه‌یی را مطالعه کرد و با بررسی جزئیات اتصال، روشی نوین تعیین کرد، که در آینه‌نامه‌های معتبر سازه‌های فولادی سراسر دنیا استفاده شده است.^[۱۲]

دیلمی و همکاران^(۱۳) نیز رفتار عملکردی اتصال‌های تیر با مقطع کاوش‌یافته را تحت بارگذاری سیکلیک بررسی کردند. اتصال‌های مذکور قادر به مستهلك کردن

فولاد با ویژگی‌های مناسب برای استفاده در سازه، از جهت نوع رفتار در برابر خستگی ضعف‌هایی دارد و پژوهشگران به طور گستردگی به موضوع خستگی توجه داشته‌اند. کتاب نورمن دالینگ^{۱۱}،^[۱۱] یکی از بهترین مراجع در زمینه‌ی شناخت مصالح فولادی است. همچنین در کتاب فدریکو مازولانی^{۱۲} و ریکاردو هررا^{۱۳}،^[۱۲] که در زمینه‌ی رفتار سازه‌های فولادی تحت بار لرزه‌یی است، بحث رفتار اتصال‌ها تحت خستگی مطرح شده است.

مطالعات علم مکانیک شکست به سال ۱۹۲۵ بر می‌گردد، که توسط گرفیت^{۱۴} انجام شده است. در واقع خستگی نوعی از خواهی شکست است و زمانی رخ می‌دهد که ماده تحت بارگذاری سیکلیک قرار بگیرد. به عبارتی ممکن است در بارگذاری چرخه‌یی، اعضاء سازه‌یی پیش از رسیدن به تش مورد انتظار دچار خواهی شوند. در طول زلزله، اتصال‌های قاب خمشی ممکن است تحت تأثیر خستگی کم چرخه قرار گیرند. اگر چه خواهی تحت خستگی کم چرخه به خوبی مطالعه و در دهه‌های اخیر منتشر شده است، این موضوع به خوبی در کارهای عملی مهندسی

* نویسنده مسئول

تاریخ: دریافت ۶/۹/۱۳۹۸، اصلاحیه ۱۱/۴/۱۳۹۹، پذیرش ۱۹/۵/۱۳۹۹.

DOI:10.24200/J30.2020.54818.2677

نتایج نشان دادند که نمونه بدون اتصال تیر با مقطع کاهاش یافته به دلیل شروع ترک‌ها در ناحیه‌ی جوش بال پایینی ضعیف‌تر عمل کرده است.^[۱۵] همکاران (۲۰۱۴) یک روش کلی برای ارزیابی خستگی کم‌چرخه در اتصال تیر به ستون ارائه کردند و مطالعات گستردگی‌ی در رابطه با شکست و پیش‌بینی خستگی از جریانات اتصال با استفاده از مکانیک شکست و روش‌های میکرومکانیک انجام دادند.

به این صورت که با انجام روشی تخمین شکست بر اتصال را تحت بارگذاری یکنواخت به بارگذاری چرخه‌ی توسعه‌دادن. آزمایش‌ها بر روی اتصال‌های تیر به ستون نشان داد که ترک‌ها ابتدا از جوش حفره‌ی دسترسی شروع می‌شوند و تا بال تیر ادامه می‌یابند.^[۱۶]

هان^[۱۷] و همکاران (۲۰۱۴) با مطالعه بر روی اتصال‌های WUF-W به این نکته دست یافتند که با کاهاش شبیه سوراخ دسترسی، کرنش خمیری کاهاش یافته و موجب تأخیر در شروع ترک‌های خستگی چرخه‌ی پایین در این ناحیه شده است.^[۱۷]

هان و همکاران (۲۰۱۶) نیز در اتصال WUF-W، بهبود هندسه‌ی سوراخ دسترسی جوش در خرابی اتصال برای جلوگیری از شکست را مطالعه کردند و در یافتند که با توجه به هندسه‌ی سوراخ دسترسی، کمترین مقدار کرنش خمیری در ناحیه‌ی اخیر ایجاد شده است.^[۱۸]

کارپیتری^[۱۹] و همکاران (۲۰۱۵) برای تعیین عمر خستگی در ناحیه‌ی چندمحوره‌ی خستگی کم‌چرخه، تأثیر نسبت پواسون را در نظر گرفتند. نتایج نظری با تغییر مقدار پارامتر مذکور به منظور ارزیابی تأثیر آن در برآورد عمر خستگی تعیین شده است.^[۱۹]

کاشانی و همکاران (۲۰۱۵)، نیز در کار خود تأثیر کمانش غیراتجاعی با دامنه‌ی بالا در عمر خستگی کم‌چرخه را بررسی کردند و با استفاده از تحلیل‌های رگرسیون خطی در یافتند که عمر خستگی از طول کمانش و مقاومت تسلیم تأثیر پذیر است.^[۲۰] همچنین در سال ۲۰۱۳ بنویت^[۲۱] و همکاران، تأثیر خستگی کم‌چرخه در قطعات جوشی و غیرجوشی را بررسی و با استفاده از یک مدل، رشد میکروترک مبتنی بر انرژی را پیشنهاد کردند.^[۲۱]

همچنین در سال ۲۰۱۷، هان و همکاران با مطالعه‌ی اتصال‌های WUF-W نشان دادند رفتار لرزه‌ی اتصال‌های WUF-W به شدت تحت تأثیر دو پارامتر سوراخ دسترسی و شبیه و طول قسمت مسطح است. برای برآوردن نیاز اتصال‌های WUF-W در قاب خشمی ویژه، با توجه به عمق تیر و ویژگی‌های مصالح، طیف وسیعی از شبیه سوراخ دسترسی و طول قسمت مسطح را پیشنهاد کردند.^[۲۲] گرامی و همکاران (۲۰۱۸)، تأثیر خستگی کم‌چرخه در قاب خشمی فولادی با اتصال‌های صلب از پیش تأیید شده‌ی فلنجی را بررسی کردند. روش به کار رفته جهت شمارش چرخه‌ها، روش جربان بارش^[۲۳] بوده است، که در سال ۱۹۶۸ توسط آندو^[۲۴] معرفی و به طور گستردگی در زمینه‌ی شمارش چرخه‌ی خستگی در مهندسی سازه استفاده شده است.

نتایج نشان داد لزماً زلزله با بیشینه‌ی شتاب نگاشت، عامل ایجاد عضو بحرانی نیست و ممکن است زلزله با بیشینه‌ی شتاب کمر، خستگی پیشتری به دست آورد.^[۲۵]

در ادامه، در سال ۲۰۱۸ گرامی و همکاران در مطالعات دیگری یک ساختمان ۷ طبقه با قاب‌های خشمی فولادی با اتصال RBS^[۲۶] را بررسی کردند و در یافتند که پدیده‌ی خستگی کم‌چرخه و کم‌چرخه‌ی شدید در قاب‌های خشمی فولادی با اتصال RBS تأثیرگذار است و احتیاج به بررسی‌های بیشتری دارد. همچنین در

مقدار زیادی انرژی در وقوع زمین‌لرزه هستند. اتصال اخیر، مستعد پیدايش ناپایداری موضوعی و جانبی است، که به دنبال آن ظرفیت اتصال کاهاش می‌یابد. نتایج نشان داد اتصال‌های مورد بررسی رفتار خوبی از خود نشان دادند. سه نمونه با و بدون اتصال تیر با مقطع کاهاش یافته بررسی و تحت بارگذاری تحلیل شدند. ظرفیت هر اتصال و میران لنگر بیشینه در محل اتصال تیر به ستون به دست آمد. هدف اصلی بررسی رفتار چرخه‌ی تیرها و اثرشکل پذیری در ناحیه‌ی دسترسی بوده است. نمونه‌ی بدون اتصال تیر با مقطع کاهاش یافته در مقایسه با سایر اتصال‌های مورد مطالعه، شکل پذیری کمتری از خود نشان داده است.^[۲۷]

همچنین اشرفی و همکاران (۲۰۰۹)، مطالعاتی بر روی عملکرد اتصال RBS تحت بارگذاری سیکلیک انجام دادند و دریافتند که استفاده از اتصال مذکور در طبقات پایین تر تأثیر عملکردی بهتری نسبت به طبقات بالاتر خواهد داشت.^[۲۸] کوین و همکاران (۲۰۱۲) هم روشی را جهت تخمین کرنش‌های محلی برای ارزیابی خستگی کم‌چرخه و خستگی کم‌چرخه‌ی زیاد ارائه دادند. با این حال، برنامه‌های کاربردی در ساختارهای واقعی برای به کارگیری روش اخیر به دلیل نیاز به مشبندی دقیق و ریز در اطراف ناحیه‌ی جوش با مشکل مواجه است. لذا در نوشتار مذکور، یک روش تخمین کرنش مؤثر شکاف از کرنش اسیم ارائه شده است.^[۲۹] امیری و همکاران (۲۰۱۳) نیز روشی جدید جهت شیوه‌سازی شکست نرم در سازه‌های فولادی در کرنش‌های بزرگ تحت زلزله ارائه کردند، که برای پیش‌بینی شروع ترک در خستگی کم‌چرخه‌ی زیاد بر اساس مدل‌های میکرومکانیکی توسعه داده شده است. روش مذکور شامل شبیه‌سازی خرابی گام به گام مواد در چارچوب روش اجزاء محدود غیرخطی بوده و بر اساس آن، ابتدا محل ترک شناسایی و سپس مسیر انتشار آن، تعداد چرخه‌های مربوط به شروع ترک و در نهایت شکست نهایی تعیین شده است.^[۳۰]

ژو^[۳۱] و همکاران (۲۰۱۳)، با استفاده از روش میکرومکانیک شکست، روشی برای بررسی اثر خستگی کم‌چرخه در اتصال‌های تیر به ستون جوشی ارائه دادند و شاخص شکستگی CVGM^[۳۲] بر اساس تاریخچه‌ی تنش و زمان کرنش محاسبه شد. روش ارائه شده دقت مناسب و معقولی را برای پیش‌بینی شکست خستگی کم‌چرخه‌ی شدید در اتصال تیر به ستون تحت بارهای چرخه‌ی بیانی ناپایدار نشان داده است.^[۳۱]

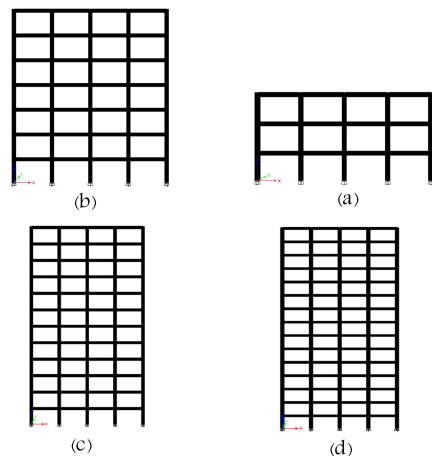
هانجی^[۳۳] و همکاران (۲۰۱۴)، در مطالعه‌ی خود اثر خستگی کم‌چرخه را در اتصال‌های جوشی بررسی کردند و پی به ترک‌های ناشی از خستگی از قسمت ریشه‌ی جوش اتصال بردن.^[۳۲]

همچنین زامبرانو^[۳۴] و همکارش (۲۰۱۴)، شاخص خسارت ساختمان را تحت اثر خستگی کم‌چرخه بررسی کردند.^[۳۳] در سال ۲۰۱۴ نیز یک مدل ساده‌سازی شده از میله‌گردهای فولادی برای بارگذاری چرخه‌ی جهت بررسی اثر خستگی فوق کم‌چرخه توسط منذر^[۳۵] و کاسترو^[۳۶] مطالعه شد، که در آن فولاد تقوت‌کننده، کاهشی مداوم و مقاومت قابل توجهی را تجربه می‌کرد، که در نهایت منجر به نارسانی زودرس ناشی از خستگی شد. نتایج نشان داد روش جدید ارزیابی سطح تسلیم، اثر سخت شدگی چرخه‌ی جنبشی و ایزوتropیک را نیز می‌تواند لحاظ کند.^[۳۴]

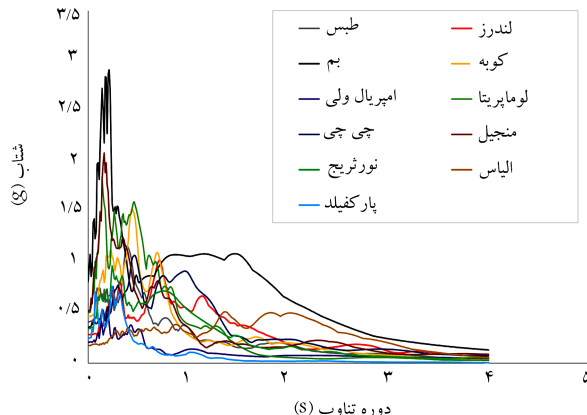
آجای کولکرانی^[۳۷] و همکاران (۲۰۱۴) با آزمایش دو نمونه تیر با و بدون مقطع کاهاش یافته، رفتار دو اتصال تیر با مقطع کاهاش یافته تحت بارگذاری سیکلیک را بررسی کردند. اتصال‌ها به طور گستردگی در ایالات متحده، ژاپن و اروپا استفاده می‌شوند. با این حال در هند استفاده نشده بودند. لذا در مطالعه‌ی مذکور مزایای استفاده از چنین اتصال‌هایی در پروفیل‌های موجود در هند ارزیابی شد و تحلیل و

جدول ۱. شتاب نگاشت های انتخابی.

	شتاب نگاشت (بر حسب g)	بیشینه شتاب (بر حسب g)	تاریخ وقوع
الیاس	۰,۱۷۶	۱۹۷۹/۲/۲۸	
امپریال ولی	۰,۲۰۵	۱۹۷۹/۱۰/۱۵	
پارکفایلد	۰,۲۴۷	۲۰۰۴/۹/۲۸	
لندرز	۰,۲۸۴	۱۹۹۲/۶/۲۸	
نورثربیج	۰,۳۴۴	۱۹۹۴/۱/۱۷	
چی چی	۰,۳۶	۱۹۹۹/۹/۲۰	
طبس	۰,۴۰۹	۱۹۷۸/۹/۱۶	
کوبه	۰,۴۶۴	۱۹۹۵/۱/۱۶	
لوما	۰,۵	۱۹۸۹/۱۰/۱۸	
منجیل	۰,۵۱۴	۱۹۹۰/۶/۲۰	
بم	۰,۸۰۷	۲۰۰۳/۱۲/۲۶	



شکل ۱. قاب های مطالعه شده.



شکل ۲. نمودار طیف پاسخ شتاب نگاشت ها.

۲. تحلیل سازه های مطالعه شده

سازه ها به منظور تحلیل و طراحی برای انجام تحلیل تاریخچه زمانی، در نرم افزار ETABS مدل سازی شده و به دلیل وجود تقارن، فقط یک قاب از هر سازه مطالعه شده است. سازه ها تحت تحلیل تاریخچه زمانی خطی قرار گرفتند. سپس تاریخچه ای تنش تیرها و ستون ها به دست آمد. مقادیر تنش ها با تقسیم لنگر خمشی ایجاد شده در هر عضو (M) بر مدول ارجاعی مقطع (S) به دست آمدند.

۳. نمودار عمر خستگی S-N

تنش های تیرها و ستون ها، دامنه های هارمونیکی ثابتی ندارند. لذا برای بررسی اثر خستگی باید از روش های قابل اعمال به محدوده های تنش متغیر استفاده شود. در واقع مطالعات مربوط به روش های مختلف بررسی خستگی نشان می دهد می توان از قانون خسارت خطی، که به طور عمده در مهندسی عمران به کار می رود، استفاده کرد. از این رو روش استفاده شده در پژوهش حاضر، روش جامع پالمگرن - ماینر بوده است، که اولین بار توسط پالمگرن^{۲۵} در سال ۱۹۲۴ ارائه شد و سپس در سال ۱۹۴۵ توسط ماینر^{۲۶} گسترش داده شد. در روش پالمگرن - ماینر، آسیب حاصل از هر محدوده های تنش، یک تابع خطی از تعداد چرخه ها در آن محدوده های تنش است.

مطالعات دیگری نشان دادند که با کاهش مدت زمان دوام زمین لرزه، عمر خستگی اتصال ها افزایش می یابد.^[۲۷-۲۸]

با توجه به اهمیت موضوع، تاکنون مطالعات کاملی جهت بررسی اثر خستگی کم چرخه در رفتار لرزه بی اتصال مستقیم تقویت نشده جوشی (WUF-W) و اتصال مستقیم تیر با مقطع کاهش یافته (RBS) و مقابله ای آنها صورت نگرفته است. لذا در نوشتار حاضر، ابتدا نمودارهای عمر - خستگی اتصال های WUF-W و RBS بر اساس فولاد رایج در ایران (ST۳۷) استخراج و سپس به بررسی رفتار اتصال های اشاره شده پرداخته شده است.

۲. سازه های مطالعه شده

جهت بررسی اثر خستگی در سازه های با ارتفاع کم، متوسط و زیاد، چهار سازه هی فولادی با ارتفاع های متفاوت در نظر گرفته شده است. ساختمان ها، ۳، ۷، ۱۲ و ۱۵ طبقه بودند. طراحی سازه ها طبق روش حالت حدی مقاومت انجام شده است. چهار قاب ۴ دهانه با سیستم مقاوم جانبی، قاب خمشی متوسط، از نوع سازه های مسکونی، خاک نوع IV و در منطقه با خطر نسیی زیاد طراحی شدند. همچنین دهانه بحرانی با توجه به بالاتر بودن نسبت تقاضا به ظرفیت تعیین شده است. مقاطع استفاده شده برای طراحی ستون ها از نوع IPB و در تیرها IPE بوده و از اتصال های از پیش تأیید شده موجود در آین نامه (اصال های WUF-W و RBS) استفاده شده است. بارگذاری و طراحی سازه ها طبق مباحثت ۶ و ۱۰ مقررات ملی ساختمان و استاندارد ۲۸۰۰^[۲۹-۳۰] صورت گرفت. در شکل ۱، قاب های مطالعه شده مشاهده می شوند.

جهت به دست آوردن تاریخچه ای تنش ها، سازه ها تحت ۱۱ رکورد زلزله مختلف قرار گرفتند. با انجام تحلیل تاریخچه زمانی، تاریخچه ای تنش سازه ها به دست آمد (فولاد مصرفی از نوع ST۳۷ بوده است).

۱.۲. مشخصات شتاب نگاشت های استفاده شده

جهت بررسی اثر زلزله های مختلف برای انجام تحلیل ها، ۱۱ شتاب نگاشت مختلف مطابق جدول ۱ و طبق استاندارد ۲۸۰۰، مقیاس سازی و استفاده شده است. طیف پاسخ شتاب نگاشت ها نیز در شکل ۲ مشاهده می شود.

لذا آسیب خستگی نهایی مطابق رابطه‌ی ۱ به صورت تمام آسیب‌های ناشی از سطوح تنش مختلف است:

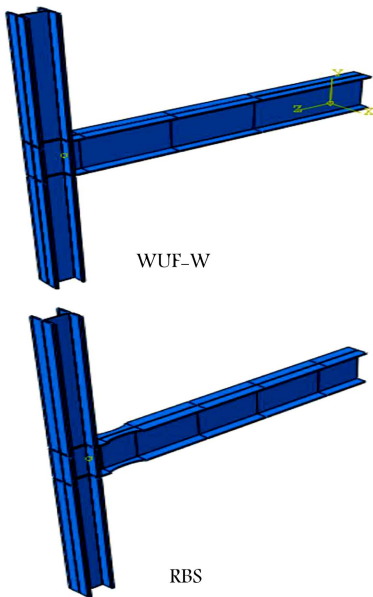
$$\sum \frac{n_i}{N_i} = 1 \quad (1)$$

که در آن:

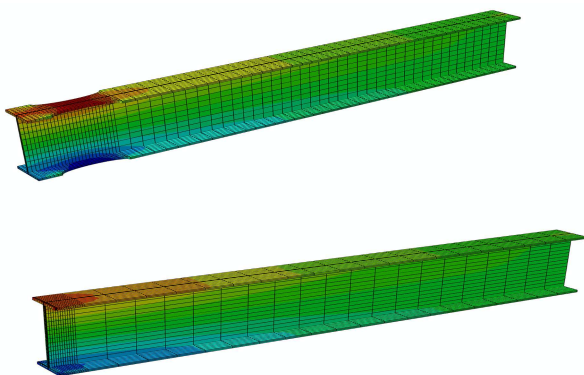
n_i : تعداد چرخه‌ها در تراز تنش i (از تحلیل تاریخچه‌ی زمانی);

N_i : تعداد چرخه‌های مربوط به خرابی در تراز تنش i (از نمودار S-N).

طبق قانون پالمگرن - ماینر، شکست ناشی از خستگی زمانی اتفاق می‌افتد که مجموع عمر خستگی کسرها طبق رابطه به مقدار ۱ برسد. در مطالعه‌ی حاضر، نسبت $\frac{n_i}{N_i}$ شاخص خستگی تجمعی نامیده شده است.



شکل ۳. مدل اجزاء محدود دو اتصال مطالعه شده‌ی WUF-W و RBS.



شکل ۴. کانتور تنش دو اتصال مطالعه شده‌ی WUF-W و RBS.

ب) اتصال RBS

$$S = 4073,5 N^{-0,119}; S > 551,06; (N < 5428009) \\ S = 4073,5 N^{-0,222}; S < 551,06; (N > 5428009) \quad (3)$$

که در آنها، N تعداد سیکل‌های خرابی و S تنش بر حسب کیلوگرم بر سانتی‌متر مرتبه است. در شکل ۵، منحنی‌های S-N به دست آمده مشاهده می‌شود.

۲.۳. روش شمارش تعداد چرخه

با توجه به این‌که تاریخچه‌ی تنش در تیرها و ستون‌ها پیچیده است، جهت تبدیل دامنه‌ی تنش‌های نامنظم به مقدار ثابت معادل از روش شمارش چرخه استفاده می‌شود. نتایج تاریخچه‌ی تنش تیرها و ستون‌ها وارد نرم‌افزار متلب^{۲۹} شده و با استفاده از کد موجود برای روش جریان بارش، نتایج جریان بارش تیرها و ستون‌ها به دست آمد. در شکل ۶، نمونه‌ی از جریان بارش مربوط به تیر بحرانی مشاهده می‌شود.

۱.۳. ضریب تمرکز تنش

دو اتصال WUF-W و RBS در نرم‌افزار آباکوس، مدل‌سازی و یک بار منفرد نیز در انتهای تیر وارد شد. نوع المان در نرم‌افزار، از نوع solid در نظر گرفته شده است. متریال در نرم‌افزار دو خطی و جهت لحاظ کردن آثار جوش، قید tie استفاده شده است. تحلیل‌های استاتیکی خطی بر روی اتصال‌ها انجام شد. هدف به دست آوردن ضریب تمرکز تنش مربوط به هندسه‌ی جزئیات اتصال‌ها بوده است. این ضریب که با عنوان SCF در پژوهش حاضر بیان می‌شود، به صورت نسبت بیشینه‌ی تنش مشاهده شده ناشی از آنالیزهای اجزاء محدود به بیشینه‌ی تنش خمشی در تیر محاسبه شده است. ضریب تمرکز تنش جهت تبدیل نتایج آزمایش یک نوع اتصال به نوعی دیگر از اتصال‌ها از طریق نسبت ضریب SCF دو اتصال استفاده می‌شود.

شکل ۳، مدل اجزاء محدود دو اتصال WUF-W و RBS و شکل ۴، کانتورهای

تنش را در آباکوس نشان می‌دهد.

با استفاده از نتایج حاصل از تحلیل، در اتصال RBS مقدار SCF ناشی از هندسه‌ی اتصال برابر ۱,۲۵ و در اتصال WUF-W برابر ۱,۵ و SCF ناشی از جوش نیز برابر ۲,۴ محاسبه شده است. در نتیجه، SCF در ناحیه‌ی چرخه زیاد می‌تواند به این صورت نوشتہ شود:

$$SCF(RBS) = 1,25 * 2,4 = 3$$

$$SCF(WUF - W) = 1,5 * 2,4 = 3,6$$

در قسمت پیچرخه با استفاده از نمودارهای موجود در کارنستار^{۲۷} و همچنین ضریب تمرکز تنش به دست آمده از تحلیل اجزاء محدود، نمودار عمر خستگی به S-N به دست آمد.

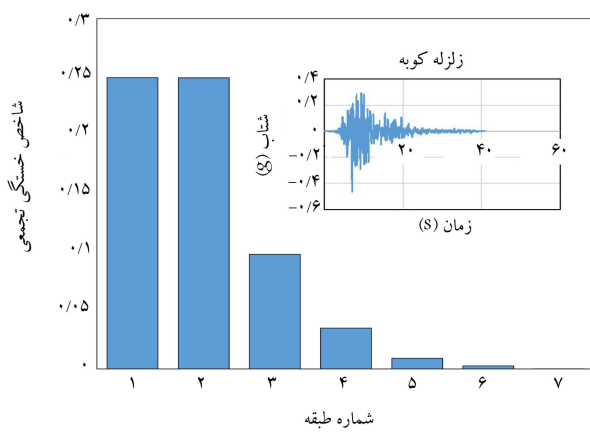
چول هو^{۲۸} و همکاران (۲۰۰۴)، در کار خود به بررسی رفتار چرخه‌ی اتصال RBS پرداختند. نتایج این کار برای توسعه‌ی نمودار S-N در ناحیه‌ی کم چرخه استفاده شده است.^[۲۱]

برای اتصال WUF-W در ناحیه‌ی کم چرخه، نوشتارهان و همکاران^[۱۷]، استفاده شده است. با استفاده از نمودار نستار و ضرایب تمرکز تنش برای هر اتصال و همچنین نتایج مطالعات نمودار S-N برای دو اتصال WUF-W و RBS به دست آمده است. در روابط ۲ و ۳، فرمول‌های حاصل از منحنی‌های S-N ارائه شده است:

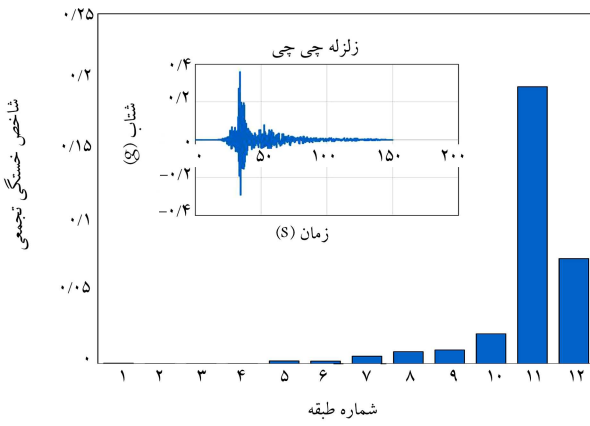
الف) اتصال WUF-W

$$S = 4052,6 N^{-0,113}; S > 427,46; (N < 6800000)$$

$$S = 72160 N^{-0,224}; S < 427,46; (N > 6800000) \quad (2)$$



شکل ۷. مقادیر خستگی تجمعی تیرها - سازه‌ی ۷ طبقه در اتصال WUF-W.



شکل ۸. مقادیر خستگی تجمعی ستون‌ها - سازه‌ی ۷ طبقه در اتصال WUF-W.

در جدول ۲، مقادیر حاصل از تحلیل خستگی تجمعی در ستون‌های سازه‌ی ۱۲ طبقه تحت زلزله‌ی چی‌چی در اتصال WUF-W ارائه شده است. مقدار شاخص خستگی در ستون طبقه‌ی یازدهم از سایر طبقات بیشتر بوده است، که علت آن را می‌توان اثر مودهای بالاتر و همچنین بیشتر بودن تنش در نمودارهای جریان بارش در طبقه‌ی یازدهم نسبت به سایر طبقات دانست.

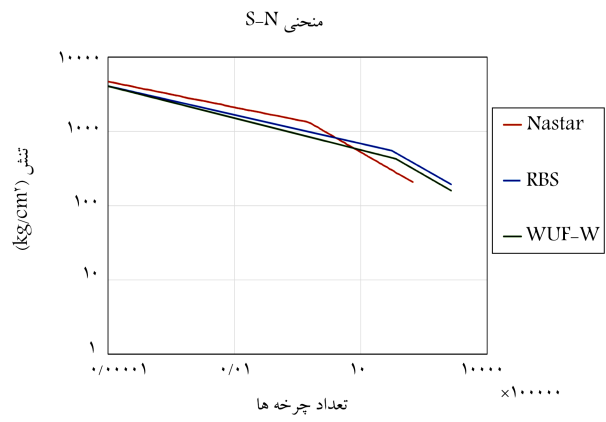
۱.۴ مقایسه‌ی مقادیر شاخص خستگی تیر بحرانی در سازه‌ی ۷ طبقه در اتصال WUF-W

با توجه به این که تیر طبقه‌ی اول در سازه‌ی ۷ طبقه بحرانی است، در این قسمت مقادیر شاخص خستگی تجمعی در تیر طبقه‌ی اول در سازه‌ی ۷ طبقه تحت زلزله‌ی مختلف مقایسه شده است، تأثیر شتاب نگاشت‌های مختلف ارزیابی شود. در شکل ۹، نمودارهای مقایسه‌ی شاخص خستگی تجمعی تیر بحرانی سازه‌ی ۷ طبقه مشاهده می‌شود.

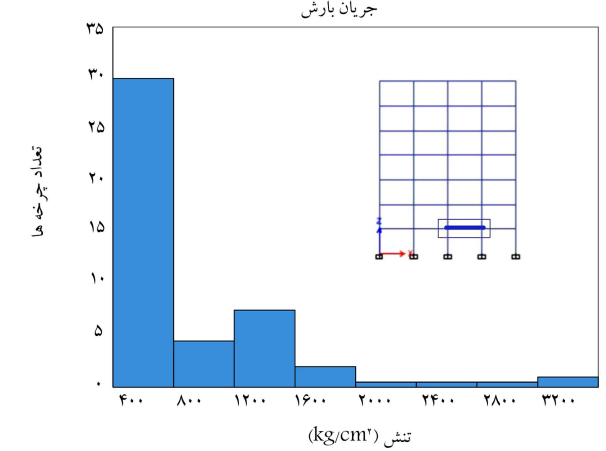
تأثیر شتاب نگاشت‌های مختلف در تیر طبقه‌ی اول سازه‌ی ۷ طبقه ناچیز بوده و دو زلزله‌ی کوبه و ایستگاه الیاس، بالاترین آسیب خستگی را ایجاد کرده‌اند.

۲.۴ مقایسه‌ی مقادیر شاخص خستگی ستون بحرانی در سازه‌ی ۱۲ طبقه در اتصال WUF-W

ستون طبقه‌ی یازدهم در سازه‌ی ۱۲ طبقه، بحرانی شده است. لذا برای مقایسه‌ی



شکل ۵. منحنی S-N و RBS دو اتصال WUF-W.



شکل ۶. جریان بارش تیر طبقه‌ی اول سازه‌ی ۷ طبقه (زلزله‌ی کوبه).

۴. تحلیل خستگی تجمعی

تحلیل خستگی تجمعی با استفاده از قانون پالمگرن - ماینر انجام می‌شود، که مطابق آن، برای هر سازه و تحت زلزله‌های مختلف با استفاده از روابط حاصل از منحنی‌های S-N، Barsh, عدد سیکل‌ها (n_i) و نیز با استفاده از روابط حاصل از منحنی‌های S-N، مقادیر N_i به دست آمده‌اند. در هر بازه‌ی تنش طبقه‌ی پالمگرن - ماینر با تقسیم مجموع عدد سیکل‌های n_i بر N_i ، مقادیر شاخص خستگی تجمعی به دست می‌آید.

در شکل‌های ۷ و ۸، نمودارهای شاخص خستگی تجمعی مربوط به تیر و ستون بحرانی به ترتیب در سازه‌ی ۷ و ۱۲ طبقه نشان داده شده‌اند. با مقایسه شاخص خستگی تجمعی در تیر طبقه‌ی اول سازه‌ی ۷ طبقه تحت زلزله‌ی کوبه بیشینه بوده است، که مربوط به اتصال WUF-W است.

همچنین شاخص خستگی تجمعی در ستون طبقه‌ی یازدهم سازه‌ی ۱۲ طبقه در اتصال WUF-W تحت زلزله‌ی چی‌چی، مقدار بیشینه گزارش شده است.

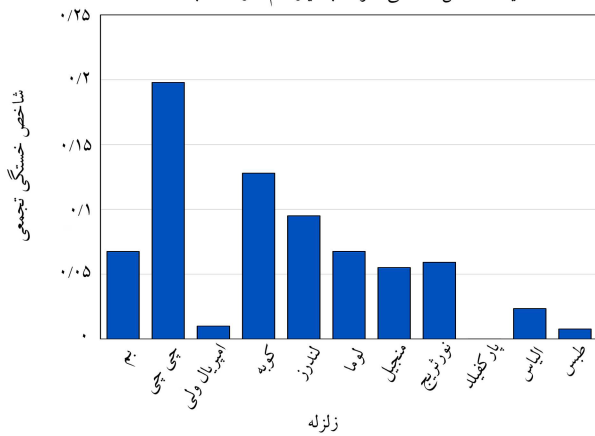
در سازه‌ی ۷ طبقه، مقادیر شاخص خستگی تجمعی در تیرهای طبقه‌های اول و دوم از سایر طبقات بیشتر بوده است، که می‌تواند به دلیل بالاتر بودن تنش در طبقات اول و دوم طبق نمودار جریان بارش باشد.

در شکل ۸، نتایج مقادیر خستگی تجمعی ستون‌های سازه‌ی ۱۲ طبقه مشاهده می‌شود.

جدول ۲. تحلیل خستگی تجمعی در ستون‌های سازه‌ی ۱۲ طبقه.

طبقه	مود	(تعداد چرخه‌ها) N_i									Sum(n_i/N_i)
		۴۰۰	۸۰۰	۱۲۰۰	۱۶۰۰	۲۰۰۰	۲۴۰۰	۲۸۰۰	۳۲۰۰		
		۸۳۳۶۲۵۴	۸۴۹۳۳/۱	۴۹۸۵/۰	۶۶۶/۷۶۴	۱۴۰/۰۴۹	۳۹/۱۳۵	۱۳/۳۱۷	۵/۲۲۴۴۱		
۱	همه مودها	۸۸	۳	۱/۵	۰	۰	۰	۰	۰	۰/۰۰۰۰۳۴۶۷۷۸	
۲	همه مودها	۷۲	۰/۵	۰	۰	۰	۰	۰	۰	۰/۰۰۰۰۴۵۲۴	
۳	همه مودها	۱۰۱	۰	۰	۰	۰	۰	۰	۰	۰/۰۰۰۰۱۲۱۵	
۴	همه مودها	۱۲۰	۰	۰	۰	۰	۰	۰	۰	۰/۰۰۰۰۱۴۳۹	
۵	همه مودها	۶۳/۵	۵/۵	۲	۱	۰	۰	۰	۰	۰/۰۰۰۱۹۷۳۳۵۴	
۶	همه مودها	۷۱/۵	۳/۵	۱/۵	۱	۰	۰	۰	۰	۰/۰۰۰۱۸۵۰۴۶۶	
۷	همه مودها	۵۹	۵/۵	۱	۱	۰/۵	۰	۰	۰	۰/۰۰۰۵۳۴۲۲۹۵	
۸	همه مودها	۴۵/۵	۵	۳	۰/۵	۱	۰	۰	۰	۰/۰۰۰۸۵۶۳۷۸	
۹	همه مودها	۴۸/۵	۵/۵	۲	۱/۵	۱	۰	۰	۰	۰/۰۰۰۹۸۶۱۸۰۶	
۱۰	همه مودها	۶۰	۷	۳	۰/۵	۱	۰/۵	۰	۰	۰/۰۰۲۱۱۳۵۷۹۵۲	
۱۱	همه مودها	۸۶	۶	۲/۵	۲	۱/۵	۰/۵	۱	۰/۵	۰/۱۹۷۸۸۳۱۸۵	
۱۲	همه مودها	۱۰۸	۵/۵	۱/۵	۳	۱	۱	۰/۵	۰	۰/۷۵۱۱۶۸۸۲	

مقایسه شاخص خستگی ستون طبقه‌ی اول سازه ۱۲ طبقه



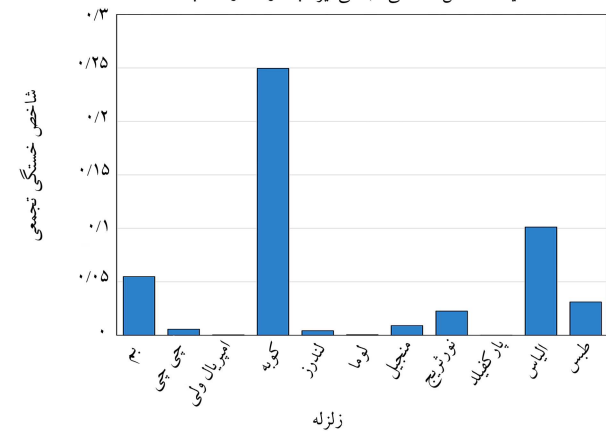
شکل ۱۰. مقادیر خستگی تجمعی ستون طبقه‌ی اول سازه ۱۲ طبقه تحت زلزله‌های مختلف.

۱۲ طبقه، در اتصال‌های مطالعه شده داشته‌اند. در واقع طیف پاسخ شتاب زلزله‌ای اخیر نیز نمایان‌گر موضوع اشاره شده است.

۳.۴. نتایج جامع تحلیل خستگی تجمعی

با انجام تحلیل‌های خستگی تجمعی در سازه‌های مطالعه شده، این نتایج در ادامه ارائه شده است. با مقایسه‌ی مقادیر شاخص خستگی تجمعی مشاهده می‌شود که تیر طبقه‌ی اول سازه‌ی ۷ طبقه تحت زلزله‌ی کوبه بیشینه بوده است، که مربوط به

مقایسه شاخص خستگی تجمعی تیر طبقه اول سازه ۷ طبقه

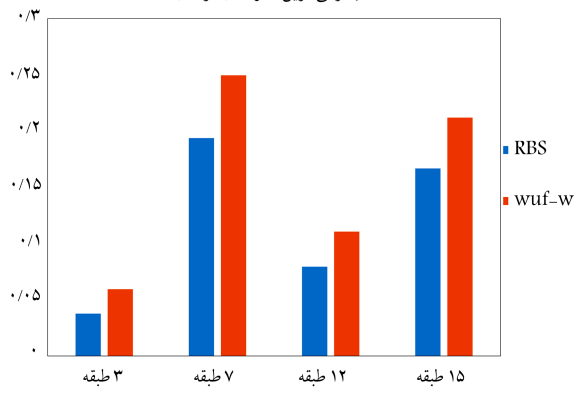


شکل ۹. مقادیر خستگی تجمعی تیر طبقه‌ی اول - سازه‌ی ۷ طبقه تحت زلزله‌های مختلف.

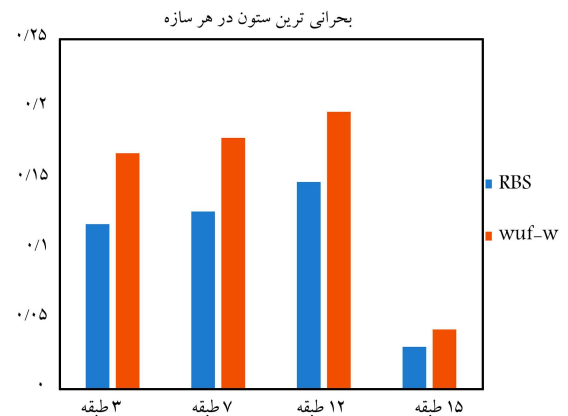
اثر شتاب‌نگاشت‌های مختلف بر ستون طبقه‌ی اول سازه‌ی ۱۲ طبقه، شکل ۱۰ ارائه شده است.

تابع نمودار نشان می‌دهد که بیشینه‌ی آسیب خستگی در ستون طبقه‌ی اول سازه‌ی ۱۲ طبقه، مربوط به زلزله‌ی چی‌چی است. همچنین مقدار محاسبه شده‌ی عمر مصروف شده‌ی اتصال تحت زلزله‌ی کوبه، ۱۲/۷۹٪ است. با توجه به طیف پاسخ شتاب‌نگاشت زلزله‌ها نیز نتایج اخیر قابل انتظار بوده است. دو زلزله‌ی امپریال ولی و پارکفیلد تقریباً تأثیر بسیار ناچیزی در ستون‌های سازه‌ی

بحرانی ترین ستون در هر سازه



شکل ۱۱. مقایسه‌ی بحرانی ترین تیر در هر سازه در دو اتصال WUF-W و RBS.



شکل ۱۲. مقایسه‌ی بحرانی ترین ستون در هر سازه در دو اتصال WUF-W و RBS.

اصال WUF-W است. در شکل ۱۱، بحرانی ترین تیر در هر سازه تحت زلزله بی که بیشینه‌ی اثر را داشته است، مشاهده می‌شود. در شکل ۱۲، بحرانی ترین ستون در هر سازه تحت زلزله بی که بیشینه‌ی اثر را داشته است، مشاهده می‌شود.

نتایج جامع تحلیل خستگی به این شرح است:

الف) نتایج تحلیل خستگی تجمعی در تیرهای بحرانی

در سازه‌ی ۳ طبقه، تیر طبقه‌ی اول در اتصال WUF-W، بیشترین شاخص خستگی را داشته، که تحت زلزله‌ی چی چی بوده است. همچنین نتایج در سازه‌ی ۷ طبقه حاکی از آن است که زلزله‌ی کوبه، بیشترین تأثیر را در تیر طبقه‌ی اول در هر دو اتصال گذاشته است. بررسی نمودارهای تحلیل سازه‌ی ۱۲ طبقه نشان می‌دهد زلزله‌ی چی چی، بیشینه‌ی شاخص خستگی تجمعی را در تیر طبقه‌ی ششم در اتصال WUF-W و زلزله‌ی بم، بیشینه‌ی مقدار خستگی تجمعی را در تیر طبقه‌ی دوم در اتصال RBS ایجاد کرده است.

با بررسی نتایج تحلیل‌های خستگی بر سازه‌ی ۱۵ طبقه مشاهده می‌شود که تیر طبقه‌ی سوم در هر دو اتصال WUF-W و RBS تحت زلزله‌ی بم بیشترین میران شاخص خستگی تجمعی را داشته است. با توجه به طیف پاسخ شتاب زلزله‌ی بم نیز این نتیجه قابل انتظار بوده است.

تیر طبقه‌ی اول در سازه‌ی ۷ طبقه تحت زلزله‌ی کوبه، بحرانی بوده و با میزان شاخص خستگی ۰/۲۴۹۵٪، بیشترین آسیب را متحمل شده است.

ب) نتایج تحلیل خستگی تجمعی در ستون‌های بحرانی

در سازه‌ی ۳ طبقه در هر دو اتصال ستون طبقه‌ی دوم نیز تحت زلزله‌ی چی چی، بیشینه‌ی میران خستگی تجمعی مشاهده می‌شود.

در سازه‌ی ۷ طبقه نیز زلزله‌ی چی چی، بیشترین شاخص خستگی را در ستون طبقه‌ی هفتم ایجاد کرده است.

ستون طبقه‌ی یازدهم سازه‌ی ۱۲ طبقه تحت زلزله‌ی چی چی بحرانی بوده و در آن نیز اتصال RBS بهتر عمل کرده است.

در سازه‌ی ۱۵ طبقه زلزله‌ی نورثربیج بر ستون طبقه‌ی پانزدهم در هر دو اتصال RBS و WUF-W، بیشینه‌ی مقدار خستگی تجمعی را ایجاد کرده است. شاخص مذکور در اتصال WUF-W، مقدار ۱/۴۴ برابر اتصال RBS است.

در سازه‌ها، ستون طبقه‌ی یازدهم سازه‌ی ۱۲ طبقه تحت زلزله‌ی چی چی با مقدار ۱۹/۷۹٪، بیشترین میران شاخص خستگی تجمعی را به خود اختصاص داده است.

با توجه به این‌که در سازه‌های مورد مطالعه در ستون‌ها میران شاخص خستگی تجمعی در ستون‌های طبقات آخر به میران بیشینه است، می‌توان علت را آثار مودهای بالاتر در سازه‌ها نسبت به مودهای اول دانست.

میران بیشینه‌ی شاخص خستگی در تیرها در هر دو اتصال و تحت زلزله‌های مختلف، در تیر طبقه‌ی اول سازه‌ی ۷ طبقه بوده است، که در اتصال WUF-W، ۱/۲۹ برابر اتصال ۱۲ طبقه است. شاخص خستگی تحت زلزله‌ی کوبه، بحرانی بوده است؛ بنابراین انتظار می‌رود ساختمان‌هایی در محدوده‌ی ارتقای ذکر شده، تحت زلزله‌هایی مشابه با زلزله‌ی کوبه، آسیب پذیر باشند.

میران بیشینه‌ی شاخص خستگی در ستون‌ها در هر دو اتصال و تحت زلزله‌های مختلف، در ستون طبقه‌ی یازدهم مشاهده می‌شود، که در اتصال WUF-W، ۱/۳۴ برابر اتصال RBS بوده است. همچنین با توجه به این‌که شاخص خستگی تحت زلزله‌ی چی چی بحرانی بوده است، می‌توان نتیجه گرفت سازه‌های بلندمرتبه تا حدود ۱۲ طبقه تحت زلزله‌هایی با مشخصات مشابه زلزله‌ی چی چی، آسیب و خرابی ناشی از خستگی از خود نشان می‌دهند.

۵. نتیجه‌گیری

در مطالعه‌ی حاضر، تأثیر خستگی کم چرخه در ۴ سازه با اتصال‌های WUF-W و RBS با ارتفاع‌ها و زلزله‌های مختلف بررسی شده است. با تعیین شاخص خستگی تجمعی، نتایج حاصل در تیرها و ستون‌های سازه‌ها و همچنین مقایسه‌ی عملکرد سازه‌ها نسبت به هم صورت گرفته و این نتایج به دست آمده است:

- با مقایسه‌ی نتایج تحلیل‌های خستگی به وضوح مشخص است در تمامی سازه‌ها، اتصال RBS عملکرد بهتری نسبت به اتصال WUF-W داشته است.

- برای تیر بحرانی سازه‌ها، بیشینه‌ی مقدار شاخص خستگی برای سازه‌ی ۳ طبقه، ۰/۰۵۹ به دست آمده است، که با افزایش ارتفاع سازه تا مقدار ۰/۲۴۹۷٪ افزایش یافته است. مقادیر اخیر برای ستون بحرانی در سازه‌ی ۱۵ طبقه، ۰/۴۲۰ به دست آمده است، که در سایر سازه‌ها تا مقدار ۰/۱۹۷٪ نیز افزایش یافته است.

- بالا بودن میزان شاخص خستگی در ستون‌های طبقات آخر سازه‌ها، نشان دهنده اثر مودهای بالاتر در سازه‌هاست.
- با استفاده از نتایج تحلیل‌های خستگی کم‌چرخه، عمر باقی‌مانده‌ی خستگی تخمین زده می‌شود؛ لذا در زلزله‌های پیاپی می‌توان به آن توجه کرد.
- خستگی کم‌چرخه، نقش مهمی در آسیب‌های ناشی از زلزله در هر ۴ سازه داشته و لازم است در آئین‌نامه‌های طراحی به آن توجه بیشتری شود. همچنین با توجه به عملکرد دو اتصال WUF-W و RBS، نیاز به توجه بیشتری به بحث خستگی در آئین‌نامه‌ها به ویژه نسبت به اتصال WUF-W است.
- با توجه رعایت اصل تیر ضعیف - ستون قوی در طراحی، مقادیر شاخص خستگی تیرها نسبت به ستون‌ها بیشتر است. بنابراین سختی اعضاء سازه می‌تواند نقش به سزاگی در کاهش خرابی ناشی از خستگی در زلزله ایفا کند.
- نتایج حاصل از تحلیل‌های خستگی تجمعی مستقیماً تحت تأثیر شتاب‌نگاشتها نیستند. به این معنی که لزوماً زلزله با بیشترین شتاب، اثر بیشینه نداشته است. تأثیر شتاب‌نگاشت زلزله‌ی چی‌چی با توجه به بیشینه‌ی شتاب کمتر شان می‌دهد که علت این امر را می‌توان مدت دوام زلزله بر Sherman.

پانوشت‌ها

1. Norman E. Dowling
2. Federico M. Mazzolani
3. Ricardo Herrera
4. Griffith
5. Krawinkler
6. Partridge
7. Allen
8. Richard
9. Radau
10. Sumner
11. Zhou
12. cyclic void growth model
13. Hanji
14. Zambrano
15. Mendes
16. Castro
17. Ajay Kulkarni
18. Han
19. welded unreinforced flange-welded web
20. Carpinteri
21. Benoit
22. rainflow
23. Endo
24. reduce beam section
25. Palmgren
26. Miner
27. Nastar
28. Cheol-Ho
29. MATLAB

منابع (References)

1. Dowling, N.E. "Mechanical behavior of materials: engineering methods for Deformation, Fracture, and Fatigue", Pearson (2012).
2. Mazzolani, F. and Gioncu, V. "Behaviour of steel structures in seismic areas", CRC Press (2014).
3. Nastar, N. "The effect of higher modes on earthquake fatigue damage to steel moment frames", Ph.D. Thesis, North Carolina State University, U.S (2008).
4. Partridge, J., Paterson, S. and Richard, R. "Low cycle fatigue tests and fracture analyses of bolted-welded seismic moment frame connections", In STESSA 2000, 3rd International Conference, pp. 21-24 (2000).
5. Partridge, J.E., Paterson, S.R. and Richard, R.M. "ATC-24 cumulative damage tests and fracture analyses of bolted-welded seismic moment frame connections", Forensic Engineering, **2003**, pp. 142-157 (2003).
6. Sumner, E.A. "Unified design of extended end-plate moment connections subject to cyclic loading", Ph.D. Thesis, Virginia Polytechnic Institute and State University (2003).
7. Deylamy, A. and Moslehi Tabar, A. "Experimental study on the key issues affecting cyclic behaviour of reduced beam section moment connections", Proc. Of 14th World Conference on Earthquake Engineering (14 WCCE), Beijing, China (2008).
8. Ashrafi, Y., Rafezy, B. and Howson, W.P. "Evaluation of the performance of reduced beam section (RBS) connections in steel moment frames subjected to cyclic loading", Proceedings of the World Congress on Engineering, **2**, pp. 1-3 (2009).
9. Saiprasertkit, K., Hanji, T. and Miki, Ch. "Local strain estimation method for low-and high-cycle fatigue strength evaluation", International Journal of Fatigue, **40**, pp. 1-6 (2012).
10. Amiri, H., Aghakouchak, A., Shahbeyk, S. and et al. "Finite element simulation of ultra low cycle fatigue cracking in steel structures", Journal of Constructional Steel Research, **89**, pp. 175-184 (2013).
11. Zhou, H., Wang, Y., Shi, Y. and et al. "Extremely low cycle fatigue prediction of steel beam-to-column connection by using a micro-mechanics based fracture model", International Journal of Fatigue, **48**, pp. 90-100 (2013).
12. Hanji, T., Park, J.-E. and Tateishi, K. "Low cycle fatigue assessments of corner welded joints based on local strain approach", International Journal of Steel Structures, **14**(3), pp. 579-587 (2014).
13. Zambrano, A. and Foti, D. "Damage indices evaluation for seismic resistant structures subjected to low-cycle fa-

- tigue phenomena”, *International Journal of Mechanical Sciences*, **78**, pp. 106-117 (2014).
14. Mendes, L.A. and Castro, L.M. “A simplified reinforcing steel model suitable for cyclic loading including ultra-low-cycle fatigue effects”, *Engineering Structures*, **68**, pp. 155-164 (2014).
 15. Swati, A.K. and Gaurang, V. “Study of steel moment connection with and without reduced beam section”, *Case Studies in Structural Engineering*, **1**, pp. 26-31 (2014).
 16. Zhou, H., Wang, Y., Yang, L. and et al. “Seismic low-cycle fatigue evaluation of welded beam-to-column connections in steel moment frames through global-local analysis”, *International Journal of Fatigue*, **64**, pp. 97-113 (2014).
 17. Han, S.W., Moon, K.H. and Jung, J. “Cyclic performance of welded unreinforced flange-welded web moment connections”, *Earthquake Spectra*, **30**(4), pp. 1663-1681 (2014).
 18. Han, S.W., Jung, J. and Ha, S.J. “Seismic performance of WUF-W moment connections according to access hole geometries”, *Earthquake Spectra*, **32**(2), pp. 909-926 (2016).
 19. Carpinteri, A., Ronchei, C., Scorza, D. and et al. “Fatigue life estimation for multiaxial low-cycle fatigue regime: the influence of the effective poisson ratio value”, *Theoretical and Applied Fracture Mechanics*, **79**, pp. 77-83 (2015).
 20. Kashani, M.M., Barmi, A.K. and Malinova, V.S. “Influence of inelastic buckling on low-cycle fatigue degradation of reinforcing bars”, *Construction and Building Materials*, **94**, pp. 644-655 (2015).
 21. Benoit, A., Rémey, L., Köster, A. and et al. “Experimental investigation of the behavior and the low cycle fatigue life of a welded structure”, *Materials Science and Engineering: A*, **595**, pp. 64-76 (2014).
 22. Han, S.W. and Kim, N.H. “Permissible parameter ranges of access hole geometries for WUF-W connections”, *Earthquake Spectra*, **33**(2), pp. 687-707 (2017).
 23. Gerami, M., Zarei, A. and Ghaderi, M. “Effect of low cycle fatigue on steel moment frames with prequalified rigid connections (bolted unstiffened and stiffened extended end-plate moment connections)”, *Journal of Structural and Construction Engineering (JSCE)*, **6**(3), pp. 149-162, (In Persian) (2018).
 24. Ghaderi, M., Gerami, M. and Vahdani, R. “A comparison of seismic low cycle fatigue and extremely low cycle fatigue on steel moment frames with reduced beam section connection (RBS)”, *International Journal of Fatigue*, **119**, pp. 139-149 (2019).
 25. Ghaderi, M., Gerami, M. and Vahdani, R. “Estimated unanticipated capacity of RBS connections under monotonic and cyclic load using ductile fracture mechanism”, *Sharif Journal Civil Engineering*, **36.2**(1), pp.143-152, Spring (2020).
 26. Ghaderi, M., Gerami, M. and Vahdani, R. “Investigating the effect of extremely low cycle fatigue in steel moment frame with reduced beam section connections”, *Journal of Structural and Construction Engineering (JSCE)*, **7**(34), pp.5-19, Summer (2020).
 27. Mirzahosseini, M., Gerami, M. and Borhani, A. “Seismic investigation of low cycle cumulative fatigue in steel bending frame joints”, *Iranian Society of Steel Structures*, **11**(17), pp.25-34, (in persian) (2014).
 28. Topic 6 National Building Regulations, “Loads on the building”, *Ministry of Roads and Urban Development, Department of Housing National Regulatory Office* (2012) (in persian).
 29. Topic 10 National Building Regulations, “Design and implementation of steel buildings”, *Ministry of Roads and Urban Development, Department of Housing National Regulatory Office* (2012) (in persian).
 30. Standard No. 2800, *Iranian Code of Practice for Seismic Resistant Design of Buildings*, Standard no.2800 (4th edition) (in persian) (2013).
 31. Lee, C.-H., Jeon, S.-W., Kim, J.-H. and et al. “Seismic performance of reduced beam section steel moment connections: effects of panel zone strength and beam web connection method”, *In 13th World Conference on Earthquake Engineering*, pp. 1-6 (2004).